



**71318.1
2024**

,

1

2024

1
() « (»)
2 271 «
3 12 2024 . 1229-
4 14276-1:2020 «
1. . » (DIN EN 14276-1:2020 «Druckgeräte für Kälteanlagen und Wärme-pumpen — Teil 1: Behälter— Allgemeine Anforderungen», NEO)

5

29 2015 . 162- «
26 ».
) « (,
— « ,
— «
».
—
— (www.rst.gov.ru)

1	1
2	1
3	,	3
3.1	3
3.2	5
4	7
4.1	7
4.2	,	7
4.3	7
4.4	8
4.5	8
4.6	,	9
5	9
5.1	9
5.2	9
6	10
6.1	10
6.2	10
6.3	11
6.4	11
6.5	PS.....	11
6.6	P_d	11
6.7	11
6.8	t_d	11
6.9	11
6.10	t_c	12
6.11	12
6.12	14
6.13	,	14
6.14	14
7	19
7.1	19
7.2	19
7.3	19
7.4	21
7.5	22
7.6	/	22
8	22
8.1	22
8.2	,	22
8.3	24
8.4	24
8.5	24

8.6	24
8.7	25
8.8	25
8.9	25
8.10	26
8.11	26
()	29
() DW-	31
()
,	32
()	35
()	41
()	42
()	48
()	52
	54

1

Refrigeration systems and heat pumps. Pressure equipment. Part 1 .Vessels. General requirements

— 2025—02—01

1

34891.1.

« _____ »,

1

34891.2, 34347 [1].

4

2

12.2.233 (ISO 5149:1993)
3,0

1497 (6892—84)
2405 , ,
5632 , ,
6996 (4136—89, 5173—81, 5177—81)
12971
19248 (3677—76)
24715
28338 (6708—80)
34347—2017
34891.1—2022 (EN 378-1:2016)
1. , ,
34891.2—2022 (EN 378-2:2016)
2. , ,
34891.3 (EN 378-3:2016+ 1:2020)
3.
34891.4 (EN 378-4:2016+ 1:2019)
4. , ,
34951 (EN 10020:2000)
1005-2 2.
ISO 817
ISO 15609-3
3.
ISO/TR 15608
52727
58905/ISO/TR 25901-3:2016
3.
4063
5817
().
7438
9606-1
10012 1.
14732 , ,
15607
15609-1
1.
15611
15612

15614-1

1.

15614-2

2.

»,

1

«

().

3**3.1**

34891.1,

3.1.13.1.1.1 **min** f_0 $_{100}$:

100 %

20 °C.

3.1.1.2 **min** t_0 $_{75}$:

75 %

20 °C.

3.1.1.3 **min** f_0 $_{50}$:

50 %

20 °C.

3.1.1.4 **min** f_{025} :

25 %

20 °C.

3.1.2

(corrosion):

3.1.3

(maximum allowable temperature):

3.1.4

(minimum allowable temperature):

3.1.5

(main pressure bearing part):

3.1.6 (volume):

(, ,).

3.1.7

DN-

1

2 [1].

3.1.8

« » («roll bond» heat exchanger):

3.1.9

(maximum operating pressure):

12.2.233.

1

2

3.1.10

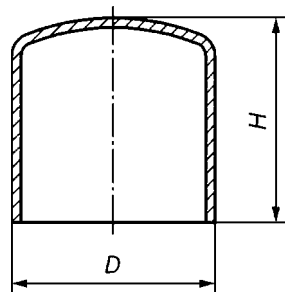
(maximum standstill pressure):

3.1.11

(deep drawing):

0,45.

1.



— ; *D* —

1 —

3.1.12

(manual brazing):

3.1.13

(semi-automatic brazing):

3.1.14

(machine brazing):

3.1.15

(automatic brazing):

3.2

		, %;
A_t	—	, 2;
A_v	—	, 2;
A_w	—	, 2;
<i>BPS</i>	—	; ;
D	—	, ;
<i>DBA</i>	—	; ;
<i>DBF</i>	—	; ;
D_e	—	, ;
d_e	—	, ;

D_s	—	,	;
Dj	—	,	;
dj	—	,	;
DN	—	;	
D_s	—	(-
)	,	;
$\wedge tube$	—	()
	—	,	;
e_{act}	—	,	;
	—	,	;
EPS	—	,	;
$\wedge tube$	—	,	;
EV	—	,	;
e_w	—	,	;
f	—	,	;
f_{ttest}	—	,	t , ;
$\wedge tube$	—	t ,	;
$Etube$	—	,	;
	—	,	;
	—	,	;
/	—	,	;
L_k	—	,	;
NEV	—	,	;
$\wedge tube$	—	,	;
	—	,	;
()	—	,	;
	—	,	;
P_d	—	,	;
PS	—	,	;
E_{test}	—	,	;
$Etube$	—	,	;
P_v	—	,	;
Q	—	,	;
Q_t	—	,	;
Q_v	—	,	;
	—	,	;
R_m	—	,	;
$E_m \text{avg}$	—	,	;
	—	,	;
E_{min}	—	,	;
$E_m \text{tube}$	—	,	
$R_{m/t}$	—	t ,	;
$E_m/ttest$	—	,	;
E_{pavg}	—	,	-
	,	,	

$R_p Q2$ — 0,2 % , ;
 $Rp0 2/t$ — 0,2 % t , ;
 $Rp0 2/ttest$ — 0,2 % t , ;
 R_p^\wedge — 1'0 ${}^\wedge\circ$, ;
 $R_{p1} at$ — 1'0 ${}^\wedge\circ$ t , ;
 $Rp^\wedge attest$ — 1'0 % t , ;
 S_o — , 2 ;
 t_c — , ${}^\circ\text{C}$;
 t_d — , ${}^\circ\text{C}$;
 t_{ha} — , ${}^\circ\text{C}$;
 t_{he} — , ${}^\circ\text{C}$;
 z — ;
— ;
5 — , ;
 V — ;
max — , 100 ;
— ;
— ;
— .

4**4.1**

, (, , , ,
)

4.2

, (, , , ,
)

4.3**4.3.1**

, , , , 34347.
4.3.1.1 , , , ,
,

- : 1.1, 1.2, 8.1 ;
- : 21, 22;
- : 31 35; ,
- , DN ,

50, ;
- [2] 34347.

4.3.1.2 14 % ,
4.3.3.3.

4.3.1.3 DN 28338 ,
,

4.3.2

4.3.1.1.

4.3.3

4.3.3.1

4.3.3.2

$L_o = 5,65^\wedge$

- — 14 %;
- — 16 %;
- — 14 %;
- () — 14 %;
- () — 12 %;
- — 14 %.

- $PS \quad DN \quad 50\ 000$, $> 5\%$;
- $PS \quad DN \quad 10\ 000$, $3\% < \quad < 5\%$.

4.3.3.3 , , $L_Q = 5, Q^\wedge S^\wedge$,

1497.

4.3.3.4 , , ,

50 °C.

4.4

4.4.1

34891.2

4.4.2

4.3.1.1,

32.2 35),

196 °C.

4.5

/

4.6

5

5.1

[1]:

5.2

1 ()
1.

1—

1.1, 1.2, 1.3, 1.4 1.5	-	200, 201, 202, 203, 204, 205
, 1 2,		220, 221, 230, 231
1		270
1 2		224, 225
3,	-	226,
1 2		228
, F		240, 241, 242
, 1		250
, 1		
, 1, 2 3	-	260, 261
, 1, 2 3		271, 272
, 1, 2 3		

1

:	1 2	300
:	1 2	310
	: 1,2 3	, 331
3.8 —	- - -	370
:	1	
	,	

- 2 () : , 1.
 — 34891.1—2022, (1 2).

6**6.1**

, , ,
 (P_d) , t_d ().
 , , ()
 () .

6.2**6.2.1**

, , ,
 34891.4.

6.2.2

, , , 0
 () .

6.2.3

- 0 (, , , , ,)

34891.2—2022 (D G);

- 1 , , ; , ,

, , , , ,

« » , ,

6.2.4

6.3

, $R_{eH'}$ 360 ,
34891.1, 34891.2, 34891.3, 34891.4.

— 34891.2—2022 ()

6.4

34347.

6-5

PS

34891.2—2022 (6.2.2),
PS

PS

1.1 • PS. PS

6.6

P_d

PS.

1

6.7

1

34891.2—2022 (6.2.2).
()

6.9

20 °C.

(),

(. 4.4).

6.10 t_c **6.10.1** t_c **6.10.2**

50 °C,

50 °C,

2.

2 —

t_c , °C				
		()		
		$\max_{12}^{axf\wedge\wedge,501}$)	$\max(t_{he}, 50)$	$\max(t_{he}, 50)$
	()	$\max(t_{he}, 50)$	$\max_{12}^{ \wedge\wedge,50\wedge}$)	$\max(t_{he}, 50)$

 t_{he} ,**6.10.3**

6.10.2.

/

6.11

(,) z. z.

()

3.

3—

s^{∞}	s					${}^{\circ}C$	$>s$	$\frac{2}{1}$	
3 ° ^			1.1/8.1	1.2				^	,
1	1b	1.1/1.2/8.1	2)	2)	2)	2)	1/2	100 %	100 %
1	2	1.1/1.2/8.1	<50	<30	3)	2)	1/2	100 %	100—10 % ⁴⁾ - ⁵⁾
0,85		1.1/1.2/8.1	<50	<30	2)	2)	1/2	100 %	10 %
0,7	4	1.1/1.2/8.1	<16	<12	2)	50—200	1/2	100 %	0 %
¹⁾									
²⁾ « »									
,									
)									
/									
⁴⁾									
⁵⁾									
2 .									

1.1, 1.2 8.1,

8.7.

1

1,0

6.12

6.12.1

6.12.2

6.12.3

(23 ± 5) °C
50 °C.

6.12.4

$R_{m/t}$	31-32-33-34-35	3,5	f
1,0 %	$(R_{p1 \text{ off}})$	1,5.	0,2 % $(R_{p0 \text{ off}}/t)$
,	1,0 % $(R_{p1 \text{ off}})$, 0,5		0,2 %
25 %	27 %		

6.13

6.13.1

6.13.2

6.13.3

6.13.4

34891.3 34891.4 34891.2,

6.13.5

25 (1005-2).

6.14

6.14.1

<i>DBF</i>	<i>DBF</i>
)	<i>DBA'</i>
)	:
6.14.2	DBF
6.14.2.1	

).

(

$$\text{e} = C'd^2/\Delta' \quad)$$

 d_1 —

1)

$$\text{---}, \quad \rho_1 = 0,35, \\ \text{---}, \quad \rho_2 = 0,45$$

2)

$$\text{---}, \quad \rho_1 = 0,40, \\ \text{---}, \quad \rho_2 = 0,50;$$

 d_2 — Q_t

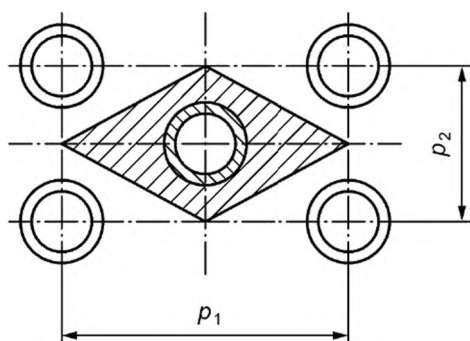
$$A_v \quad A_t$$

2.

$$(\quad \quad \quad)$$

$$A_v \quad A_t$$

50 %



2 —

$$Q_v = PA_v, \quad (3)$$

$$Q_t = P^A P \quad (4)$$

$$A_v = \cos 30^\circ - \quad (5)$$

$$A_t = -\cos 30^\circ - \quad (6)$$

)

$$F_w$$

4.

,

(1).

Q

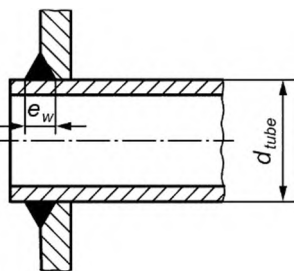
4 —

	$(QJA \wedge Q_i/A_i)$
	150
	300

$$\begin{array}{c} l_? \\ A_w \\ 40 \\ A_w \end{array}$$

$$\wedge w \max[0,1 dfube h,x' \wedge tube \wedge i \wedge l \wedge' (7)$$

$$\begin{array}{c}) \\ Q, \\ e_w \\ 0,4 \max(P_v - A_v J P_{tube} - A_t) \\ \wedge tube \wedge tube \end{array} \quad (8)$$

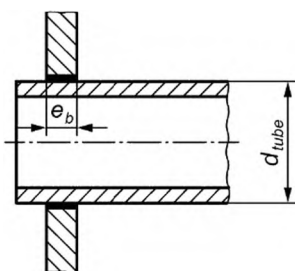


e_w —
 d_{tube} —
3 —

$$\begin{array}{c}) \\ Q, \\ 4), \end{array}$$

$$\frac{0,5}{\wedge tube \wedge tube} \frac{(-A_v J P_{tube} A_t)}{(P_v - A_v J P_{tube} A_t)}$$

(9)



e_b —
 d_{tube} —
4 —

6.14.2.2

0,9

- ;
- ;
- 500 ;
- 20 ;
- III ;
- ;
- ;
- ;
- ,
- ,
- 50 °C 150 °C.
)

$$= 0,08 \frac{!(Dl - N_{tube} - dl_{be})yP(max)}{J} + 8 , \quad ()$$

D_s — ;
 N_{tube} — ;
 d_{tube} — ;
— ;
8 — ;
— ;
 f — ;
(max) — ;
)

6.14.2.1. A_v A_t

6.14.2.1)).
)

$$Q_v < 0,8 \wedge (\neg d \wedge Ur) \quad ()$$

, 160 / 200 °C,
1)
2)
)

$F_{tube} \approx 480\ 000 \text{ mm}^2$;
 $\Delta t_{tube} \approx \Delta t_i$)

2

 L_k —

6.14.3

6.14.3.1

6.14.3.2

5.

6.14.3.3

1)

2)

3)

4)

5)

6)

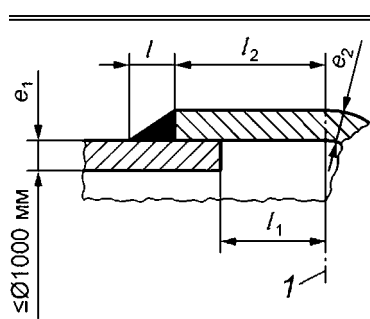
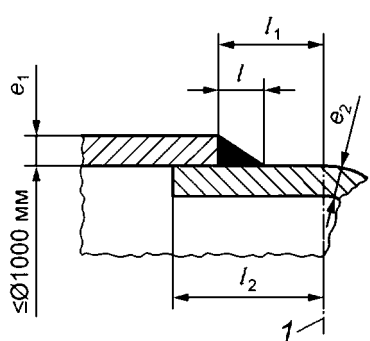
+1

6

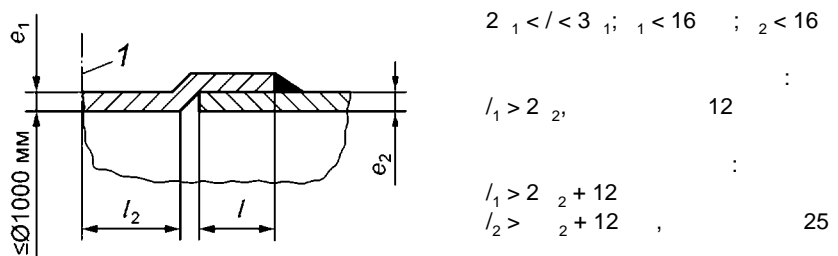
1,5

5 —

Тип соединения

 $l > 1,3 \wedge l_1 < 6 \quad ; \quad l_2 \leq 16$ $l_1 > 2 \quad l_2, \quad 12$ $l_1 > 2 \quad l_2 + 12 \quad , \quad 25$  $l > 1,3 \wedge l_1 < 16 \quad ; \quad l_2 < 16$ $l_1 > 2 \quad l_2, \quad 12$ $l_1 > 2 \quad l_2 + 12 \quad , \quad 25$

5



— 1 —

7**7.1**

4.5.

7.2

5817 24715.
 5.10 34347—2017.
 [3], [4].

7.3**7.3.1****7.3.2****7.3.3****7.3.4****7.3.4.1**

15614-1, 15607, 15609-1 ISO 15609-3.
 15614-2:

) 15611 15612;
) 15614-1.

7.3.4.2

15614-2

9606-1

14732.

7.3.5

7.3.5.1

7.3.5.2

$t_d < 100 \text{ } ^\circ\text{C}$
 t_d $100 \text{ } ^\circ\text{C}$
 (. . . . 6).

6 —

19248	, $^\circ\text{C}$
- - -	150
- - -	200
B-Cu-Zn	200
- - -	200

7.3.5.3

(. . . .).

7.3.5.4

7.3.5.5**7.3.5.6****7.3.6****7.3.7**

34891.2—2022

(6.2.3.2.3).

7.4**7.4.1**

1)

32 35,

300 °C 400 °C

30 ;

CuZnSi,

2)

7;

7 —

	, °C		, °C
31	750 950	Cu-Ni 34	850 950
32	650 750	Cu-Al 35	800 975

7.4.2

14 % (. 4.3.1.2)

7.4.1.

7.5

7.6 /

34891.4.

8

8.1

8.2

8.2.1

8.2.2

8.2.3

8.2.4

8.3

8.4

10012.

8.5

4.5.

4.5;

8.6

8.7

34347—2017 (5.10).

3

.4.2, .4.3 .4.4.

.4.1,

.4,

8.8

24715

8.9

8.9.1

34347—2017 (6).

8.9.2

);

8.9.3

8.9.4

8.9.5

- 1) ;
- 2) ;
- 3) ;
- 4) ;
- 5) ;
- 6) ;
- 7) ;

10 %

0,5

8.10

12971.

325
34347—2017 (9.1.4).
34347—2017 (9.1.3)

PS

0 ;

ISO 817

1 2;
1 2;

100

34347—2017 (9).

8.11

8.11.1

34347—2017 (8.2)

8.11.2

()

•
•

()

•

•

8.11.3

34891.2.

8.11.4

(

8.11.5

34347—2017 (9.3).

8.11.6

8.11.6.1

8.11.6.2

)

()

— . ISO/TR 15608, 34951 5632.

.1

.1.

.1 —

		1)	
1	$\text{C} < 0,25$ $\text{Ni} < 0,5$ $\text{Si} < 0,60$ $\text{Cr} < 0,3 \text{ (0,4)}^)$ $< 1,8$ $\text{Nb} < 0,06$ $< 0,70$ $\text{V} < 0,1$ $\text{S} < 0,045$ $\text{Ti} < 0,05$ $< 0,045$	$R_{eH} < 360$ / 2 , %: $R_{eH} < 275$ / 2 , %	
1.1	$< 0,08 \%$ $\text{V} < 0,03 \%$	1	:
1.2	$< 0,08 \%$ $\text{V} < 0,03 \%$	1	275 / $^2 < R_{eH} < 360$ / 2
8.1			$< 19 \%$
	1)	R_{eH}	$R_p Q_2^-$

.2

.2.

.2 —

21	.
22	-
22.1	- , $< 3,0 \%$
22.2	- , $3 \% < < 5,6 \%$

31	(6 % 3 %)
32	-
32.1	- ,
32.2	-
33	-
34	-
35	-

()

DN-

DN 28338
 (. .1).

.1 —

DN

<i>DN</i>			<i>DN</i>		
8	13,5	—	400	406,4	406,4
10	17,2	18,0	450	457,0	457,0
15	21,3	—	500	508,0	508,0
20	26,9	26,7	550	559,0	559,0
25	33,7	33,4	600	610,0	610,0
32	42,4	42,1	650	660,0	660,0
40	48,3	48,3	700	711,0	711,0
50	60,3	60,3	750	762,0	762,0
65	76,1	76,1	800	813,0	813,0
80	88,9	88,9	850	864,0	864,0
90	101,6	101,6	900	914,0	914,0
100	114,3	108,0	950	965,0	965,0
125	139,7	141,3	1000	1016,0	1016,0
150	168,3	168,3	1025	1067,0	1067,0
200	219,1	219,1	1050	1118,0	1118,0
250	273,0	267,0	1100	1168,0	1168,0
300	323,9	323,9	1200	1219,0	1219,0
350	355,6	368,0			

*DN**DN*

()

.1

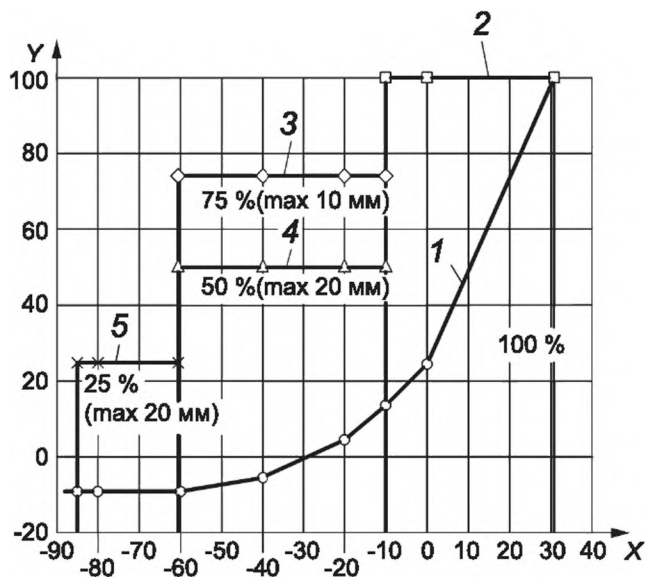
,

,

(

).

(. . . .14).



1 — (, R-134a); 2 — $\min f_{0.50}$; 3 — $\min t_{Q,100}$; 4 — $\min f_{0.25}$; 5 — $\min f_{0.75}$, °C; Y — %
 .1 — 32 °C [. . . .])

.1 —

	$\min f_{0.100}$	$\min f_{0.75}$	$\min f_{0.50}$	$\min f_{0.25}$
$\min t_0$	100 %	75%	50 %	25%
6.12	1	0,75	0,5	0,25

4.4.1,
.2.

.4.

.2

 $\min f_{0.100}$.

100 %

27 / 2.

.2 —

1) ²⁾				, °C		
	1	2		min ^0 100	min f0 75/50	min f0 25
20	P265GH	1.0425	1.1	-10	-60	-85
,	S235JRG2	1.0038	1.1	-10	-60	-85
12	P235GH	1.0345	1.1	-10	-60	-85
08X17 13 2	X6CrNiMoTi17	1.4571	8.1	-196	—	—
03X17 14	X2CrNiMo17 12 2	1.4404	8.1	-196	—	—
1	Cu-DHP	CW024A	31	-269	—	—
- -1-1	CuNi30Mn1Fe	CW354H	34	-269	—	—
16 ,17 1	P355NL2	1.1106	1.2	-50	-100	-130
08	FeP04	1.0338	1.1	-10	-60	-85
12 18	A2—70		8.1	-196	—	—
20	25CrMo4		1.1	-65	-115	-140

1)

2 %,

2) «

.4**.4.1**

$$\min f_{0 \text{ } 100}$$

$$(f_{0 \text{ } 100}, \text{ } 10 \text{ } ^\circ\text{C},$$

$$\min f_{0 \text{ } 75}, \min f_{0 \text{ } 50}, \min t_{0 \text{ } 25}$$

.4.1.

$$f_{0 \text{ } 100} = -10 \text{ } ^\circ\text{C}$$

$^\circ\text{C}$	$\min f_{0 \text{ } 100} \text{ } ^\circ\text{C}$	() [. . .]	$\min f_{0 \text{ } 75}$ $\min f_{0 \text{ } 50}, \text{ } ^\circ\text{C}$	() [. . .]	$\min f_{0 \text{ } 25}, \text{ } ^\circ\text{C}$
10	10	50	60	75	85
20	10	50	30	75	55

.4.2

$$\min f_{0 \text{ } 100}$$

1.1 1.2

$$10 \text{ ; }$$

$$10 \text{ } 20 \text{ , }$$

$$\min f_{0 \text{ } 50}, \min t_{0 \text{ } 75}).$$

$$\min f_{0 \text{ } 100}$$

.5

$$\min f_{0 \text{ } 100^B}$$

()

.1

25

—
 («soldering»),
 - 450 °C ;
 - 450 °C

.2

.2.1

.2.2

BPS

BPS

BPS

BPS',

BPS

BPS()

BPS,

EV

NEV

(. . . .2):

EV

NEV

BPS,

)

)

)

BPS(

);

)

)

)

1)

2)

)

1)

2)

3)

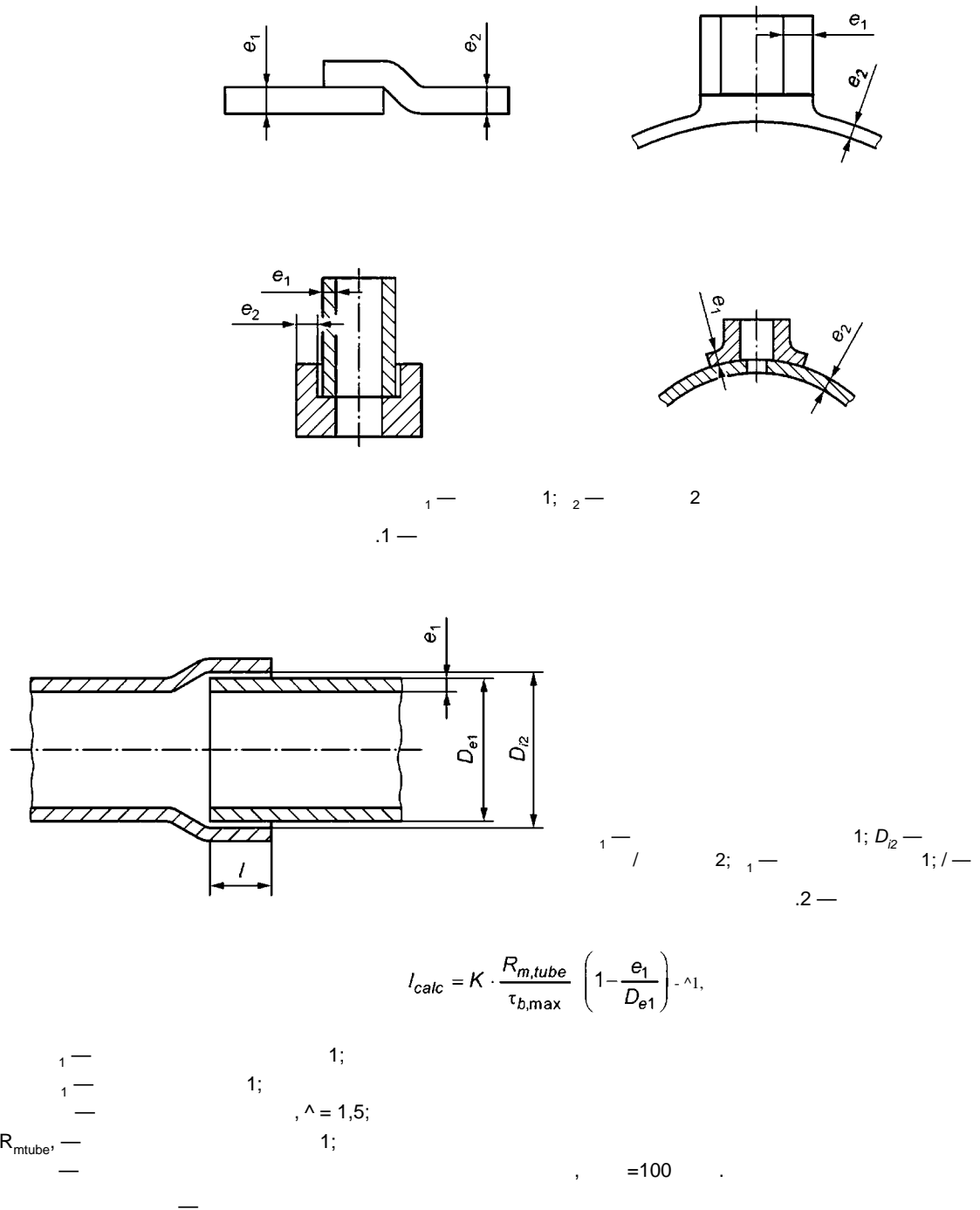
4)

5)

)

1)

.1);



$$l_{calc} = K \cdot \frac{R_{m,tube}}{\tau_{b,max}} \left(1 - \frac{e_1}{D_{e1}} \right)^{-\lambda}, \quad (1)$$

$R_{m,tube}$, —
 $\lambda = 1,5$; $\tau_{b,max} = 100$

.1 —

D_{e1}	$(l_{calc} - l_1)$
$6 < D_{e1} < 21$	0,02-0,20
$21 < D_{e1} < 34$	0,02-0,24
$34 < D_{e1} < 64$	0,03-0,30
$64 < D_{e1} < 108$	0,03-0,41

2)



)

)

)

(. . . .4):

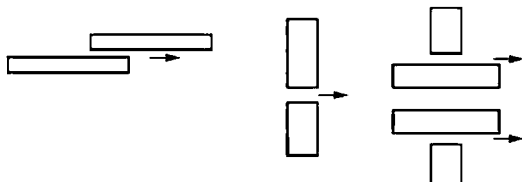
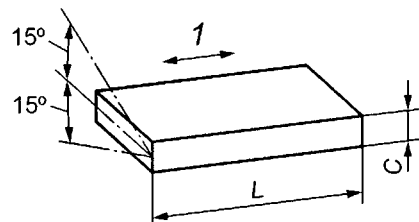
- 1)
- 2)

 $\pm 15^\circ$;

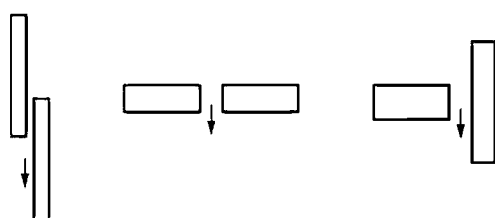
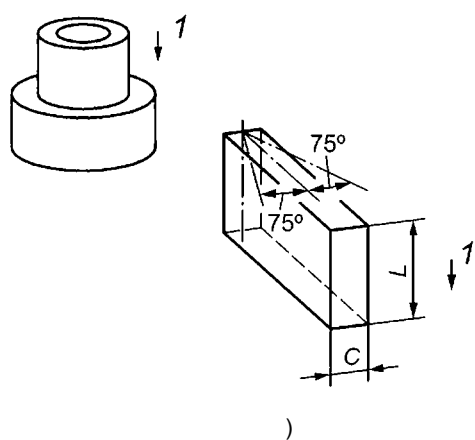
3)

 $\pm 75^\circ$;

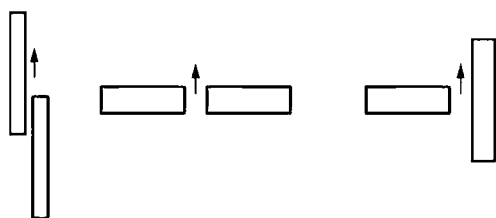
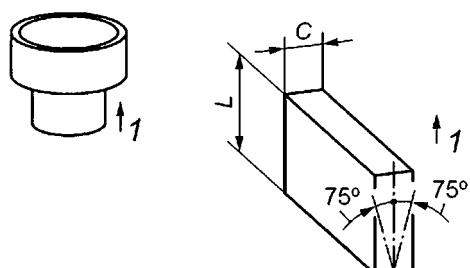
4)

 $\pm 75^\circ$; $\pm 75^\circ$;

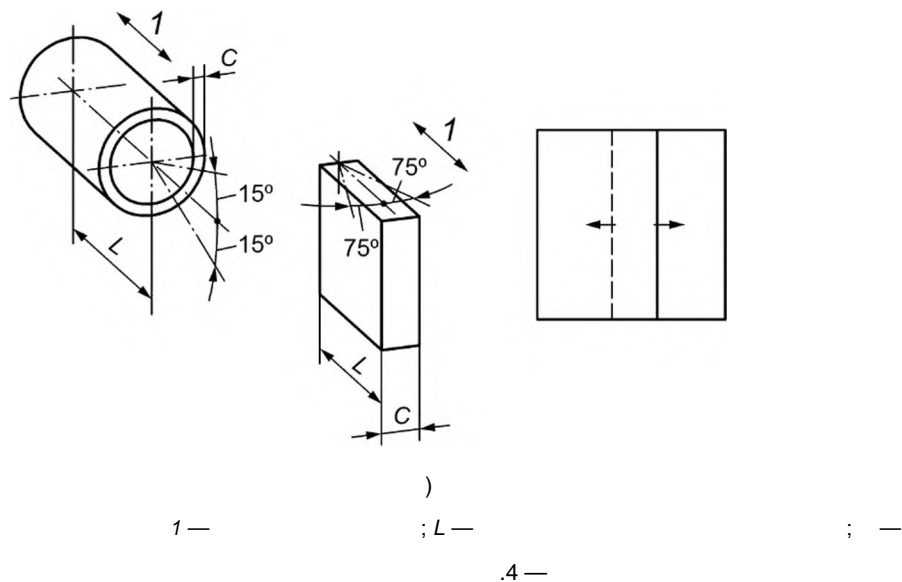
а) Круговое направление подачи



)



)



-) : 19248
 -) ; , , , , , , ;
 -) ;
 - 1) ;
 - 2) ;
 - 3) ; , , , ;
 -) ;
 - 1) ; / ;
 - 2) ; ;
 -) ;
 - 1) ; ;
 - 2) ; ;
 - 3) ; ;
 - 4) ;
 - 5) ;
 -) ;
 - 1) ();
 - 2) (. .2).
- .2 —

	EV	EV	EV	EV	EV
	EV	EV	EV	EV	EV
	EV	EV	EV	EV	EV
	EV	EV	EV	EV	EV
	EV	EV	EV	EV	EV
	EV	EV	EV	EV	EV
	EV	EV	EV	EV	EV

.2

	EV	EV	EV	EV	EV
	—	EV	EV	EV	EV
	EV	EV	EV	EV	EV
	NEV	—	—	—	—
	—	EV	—	—	EV
	EV	EV	EV	EV	EV
	NEV	NEV	NEV	NEV	NEV
	NEV	NEV	NEV	NEV	NEV
	NEV	—	—	—	—
	—	—	—	—	EV
	NEV	—	—	—	—
<hr/> — EV — , NEV — .					

.4.

.4

.4.1

-		—	4	—	—
		2	—	2 ¹⁾	—

¹⁾>

.4.2

.4.3

1497.

)
95 %-

.4.4
7438.
6996.

.4.5

)
25 %
)

.4.6

,
20 %

.5

BPS

()

PS

6.5.

 P_d

.1.

-- 1,1 **PS**10 ps —————
—s **PS**

TM 6TM

— 0

-1

.1 —

()

.1

.1.1

DBF

DBA,

PS < 6000

()

DBF

DBA.

.4.

.1.2

(. . 2).

0,625:

->0,625,

(.1)

R_{p/t}

: R_{p0 2/f} R^A _{0/b}

(. . .);

2 6.11

(. . 4).

.4.

.4.4.

.1.3

.1.4

.1.4.1

.1.4.2

.1.4.3

(, , , , , , , ,), (, , , , , , , ,)

20 %—30 %

.1.5

.1.6

50 %
10 %.

.1.7

P_{test}

$R_{p\ avg}$

$R_{m\ avg}$

.2

.2.1

0,005 %.

10 %.

.2.2

.1.6.

$P_{test'}$

0,2 %
0,5 %

P_{test}

$$\frac{R_{pavg\ ftest}(\sim^8 \sim)}{1 \backslash \wedge act}, \quad (.2)$$

= 1

(,), < 60°,

2/3

= 2

R_p —
 R_{pavg} —

.3.1

.3.2

.1.6.

P_{test}

.3.3

$$\frac{R_{mavg}}{D_{\min}} \cdot \frac{f_{test}}{f} \cdot \left(\frac{e_{act}}{e_n - \delta_e - c} \right)^n \cdot \frac{1}{z} \cdot \frac{1}{C_a} \cdot PS,$$

$C_q =$

, $C_q = 1;$

—

(.2);

$f_{test} =$

(.4),

1,25

.4

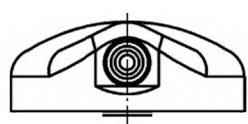
.4.1

2

2

/

« / »,
(.1);



.1 —

«

»

, , 1,1 1,2;
 ;
 ,
 1.
 ;
 ;
 .4.2 ;
 .4.3 ;
 .4.4 /

8.12.4.

.4.2

125 °C.

----- PS.
 $\theta_e - S_e - c)$ (.5)

 ~ ~
 1,2.

1,3

125 °C.

.1.6. P_{test}

1

 P_{test} **.4.3** P_{test}

=1,1 ----- PS,
 \ ~) (.6)

 P_{test}

(.5).

1,2.

1,3

125 °C.

.1.6. P_{test} P_{test}

.4.4
.4.4.1

P_{test}

= 1 : < 7 >

P_{test}

—f—4PS—
en-se-cJ (8)

.4.3.

—^-----
-8 -
—
1,15
125 °C.

1,2.

P_{test}

1

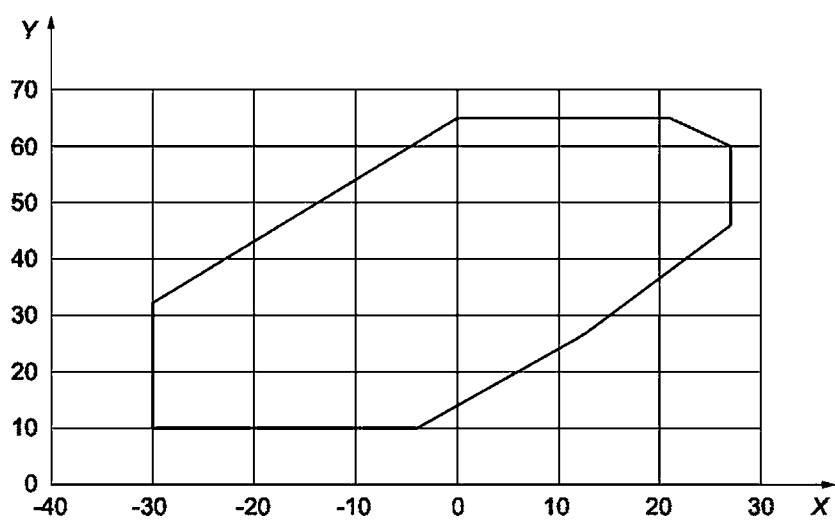
P_{test}

.4.4.2

' ^ max —
(,)
" ^ min —
PS.

.2.

.2.



X —
, °C; —
, °C
.2—

R-410A

*25 °C,
R-410A 15,5*

.4.4.1,

— 250 000. — 10 60

PS;

7 • ,max'

50 °C

25 °C

PS;

0 2 • ,

5 °C;

6,9 R-744 0,35

0 2 • ,max.'

,min'

6,9 R-744 0,35

1,4 • PS.

()

.1

.1.2

.1.3

EPS

EPS

EPS

EPS;

EPS

.1.4

EPS

EPS,

EV:

(. . . .1):

NEV·

.1—

EPS

	<i>EV</i>
<hr/> <i>— EV —</i>	

2) ; ();
) , (.), ;
) , ;
 1) , ;
 2) ;
 3) ;
) 71 72, .1 .2 ;

 1 = 100'1 - 7' < -1>

 72=100 (-2>

$D -$;
 $D_{if} -$;
 $D_e -$;
 $D_H -$;
.2

.5.

.3.1

.2

.3.3

.3.4

)

[5];

)

.4

.4.1

.4.2

.4.3

±25 %.

.4.4

.4.5

EPS.

.4.6

.4.7

EPS,

.4.8

EPS.

.5

EPS

.6

.6.1

EPS /

.6.2

EPS.

.6.3

.6.3.1

EPS,

EPS.

.6.3.2

.6.3.3

EPS

EPS /

.6.4

.3.3

.2

.6.5

.6.5.1

1)

2)

3)

.6.5.2

1)

2)

)

.6.6

()

.1

.1.1

)

1

.1.2

.1.2.2

.1.2.3

.1.2.4

.1.2.5

)

)

13

.1.3
1 2 1

1.3.1

$$\wedge_{test} = \max(1.43 \cdot P_d; 1.25 \cdot P_d \cdot \wedge_L)$$

$$P_{test} = P_d \cdot f_{ttest} \cdot v^{\frac{1}{\lambda}} \cdot f_t$$

6.12.

.1.3.2

(. . . ,1.1)

$$P_{test} = t1PS,$$

(.2)

.4,

.1.3.3

(.1.1)

) 1)
2)5
10

) 3)

,

20

.1.3.4

 $P_{test'}$

PS.

.1.3.5

) ;
)

.1.3.6

1,5

4

.1.4

8.4.

1

2405.

) ;
)
)
)
)
(. . ,1.1),
)
)
) . , ;

.2

(.52727).

[1]

032/2013

[2]

15 2020 . 536 «

«

»

[3]

13919-1:2019

,

-

1.

(Electron and laser-beam welded joints — Requirements and recommendations on quality levels for imperfections — Part 1: Steel, nickel, titanium and their alloys)

[4]

13919-2:2021

,

-

2.

(Electron and laser-beam welded joints — Requirements and recommendations on quality levels for imperfections — Part 2: Aluminum, magnesium and their alloys and pure copper)

[5]

Rules for Construction of Pressure Vessels — Division 1)

VIII. 1 (BPVC Section VIII —

66.065.54:006.354

OKC 23.020.30

27.080

27.200

16.09.2024. 20.09.2024. 60x847s.
6,51. 5,53.

117418 , 31, . 2.
www.gostinfo.ru info@gostinfo.ru